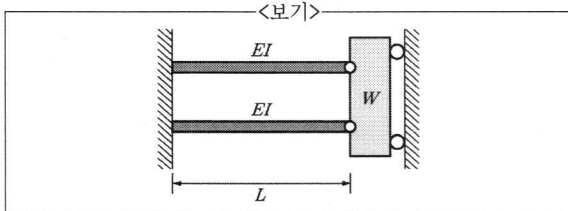


# (A) 18년 서울시(2차) 7급 응용역학

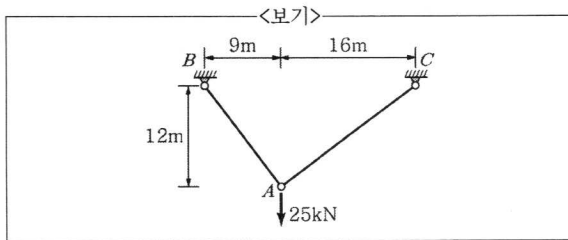
(7급)

1. <보기>와 같이 한쪽은 고정되어 있고 타단은 강체(rigid body)에 편으로 연결되어 있는 두 개의 보가 있다. 강체는 벽면을 타고 움직일 수 있으며 강체의 무게를  $W$  라 할 때 두 개의 보가 갖는 스프링강성도는? (단,  $EI=$ 휨강성이다.)



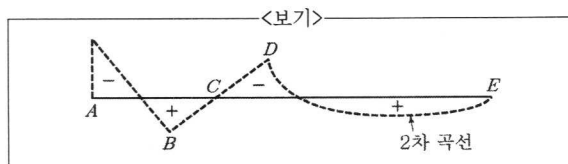
- ①  $\frac{6EI}{L^3}$       ②  $\frac{3EI}{L^3}$   
 ③  $\frac{3EI}{2L^3}$       ④  $\frac{2EI}{3L^3}$

2. <보기>의 트러스에서 A 점의 수직처짐량은? (단, 모든 부재의 탄성계수, 단면적은 각각  $E$ (kN/m<sup>2</sup>),  $A$ (m<sup>2</sup>)로 동일하다.)



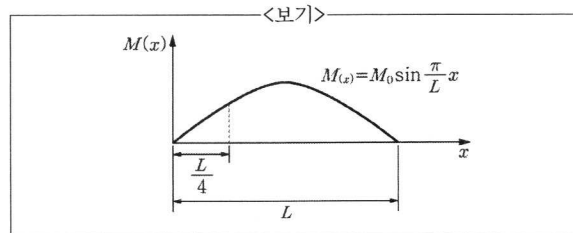
- ①  $\frac{320}{EA}$       ②  $\frac{360}{EA}$   
 ③  $\frac{400}{EA}$       ④  $\frac{420}{EA}$

3. <보기> 점선의 휨모멘트가 나타나는 구조물로 가장 옳은 것은?



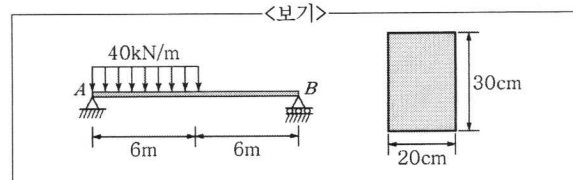
- ①   
 ②   
 ③   
 ④

4. 길이가  $L$ 인 단순보의 휨모멘트 선도가 <보기>와 같을 때 지점으로부터  $\frac{L}{4}$  점의 처짐의 크기는? (단,  $EI$ 는 일정하다.)



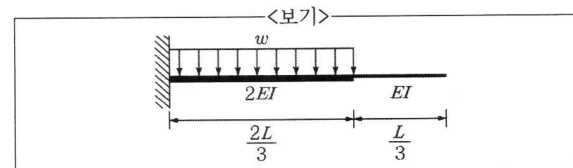
- ①  $\frac{\sqrt{2} M_0 L^2}{EI\pi^2}$   
 ②  $\frac{\sqrt{2} M_0 L^2}{2EI\pi^2}$   
 ③  $\frac{M_0 L^2}{EI\pi^2}$   
 ④  $\frac{2M_0 L^2}{EI\pi^2}$

5. <보기>와 같이 등분포하중을 받는 직사각형 단면의 단순보에 발생하는 최대전단응력의 크기는?



- ①  $3.2 \text{ N/mm}^2$   
 ②  $3.5 \text{ N/mm}^2$   
 ③  $4.2 \text{ N/mm}^2$   
 ④  $4.5 \text{ N/mm}^2$

6. <보기>와 같이 등분포하중이 일부 구간에 작용하는 캔틸레버보에 대하여 자유단에서의 처짐 값은? (단, 자중에 의한 처짐은 무시한다.)



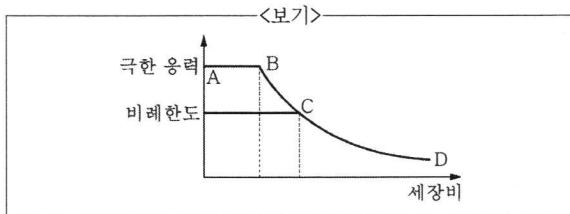
- ①  $\frac{5wL^4}{486EI}$   
 ②  $\frac{7wL^4}{486EI}$   
 ③  $\frac{5wL^4}{243EI}$   
 ④  $\frac{7wL^4}{243EI}$

(A)

Ⓐ - 16

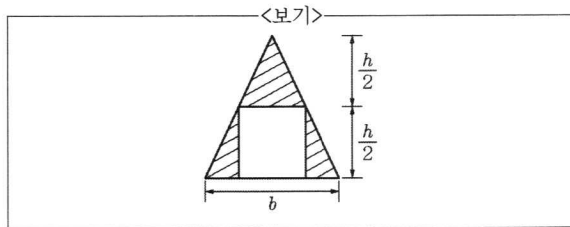
(7급)

7. <보기>와 같이 도심에 압축력만 작용하는 기둥의 평균압축 응력-세장비 곡선에 대한 설명으로 가장 옳은 것은? (단, 기둥 재료는 구조용 강재이다.)



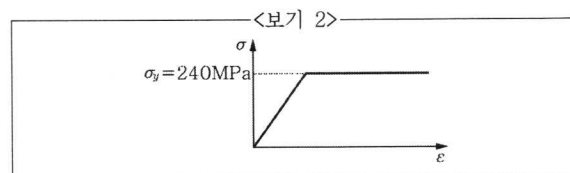
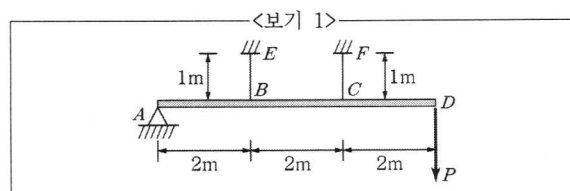
- ① CD곡선 이상 영역: 단주의 편심 축하중 해석
- ② AB 이하 영역: 중간주 해석
- ③ BC 구간: 단주 해석
- ④ CD곡선 이하 영역: 오일러 장주 해석

8. <보기>와 같은 이등변 삼각형 밑변에 대한 빗금 친 부분의 단면 2차 모멘트는?



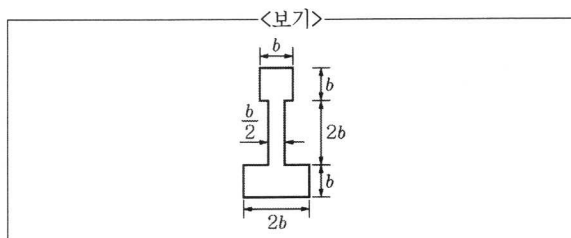
- ①  $\frac{bh^3}{8}$
- ②  $\frac{bh^3}{12}$
- ③  $\frac{bh^3}{16}$
- ④  $\frac{bh^3}{32}$

9. <보기 1>과 같이 단면적이  $100\text{mm}^2$ 인 2개의 케이블이 강체봉에 작용하는 하중을 지지하고 있을 때, 최대로 가할 수 있는 하중  $P$ 는? (단, 강체봉의 자중은 무시하며, 케이블의 응력-변형률 선도는 <보기 2>와 같고, 케이블은 파괴되지 않는다.)



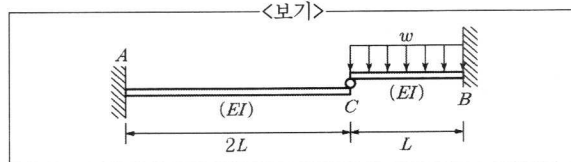
- ① 12kN
- ② 24kN
- ③ 36kN
- ④ 48kN

10. 인장과 압축에 대한 항복응력이  $\sigma_y$ 인 재료로 만들어진 <보기>와 같은 단면의 소성모멘트  $M_p$ 는?



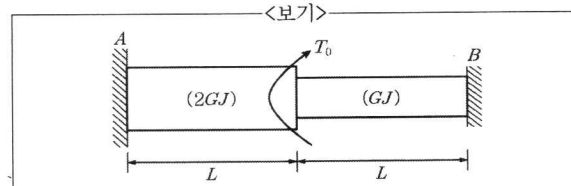
- ①  $\frac{9}{2}b^3 \cdot \sigma_y$
- ②  $\frac{11}{2}b^3 \cdot \sigma_y$
- ③  $\frac{13}{2}b^3 \cdot \sigma_y$
- ④  $\frac{15}{2}b^3 \cdot \sigma_y$

11. <보기>와 같이 길이가  $2L$ ,  $L$ 인 2개의 캔틸레버보로 이루어진 구조물의 B점에서의 휨모멘트의 크기는? (단, 휨강성  $EI$ 는 일정하다.)



- ①  $\frac{11}{24}wL^2$
- ②  $\frac{11}{36}wL^2$
- ③  $\frac{11}{12}wL^2$
- ④  $\frac{11}{6}wL^2$

12. 비틀림강성이 각각  $2GJ$ 와  $GJ$ 인 2개의 원형봉 중앙부에 비틀림모멘트  $T_0$ 가 작용할 때, B점의 내적 토크  $T_B$ 는? (단, 두 개의 원형봉은 완벽히 결합되어 있다.)

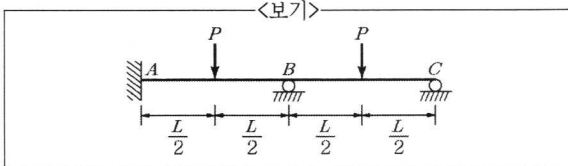


- ①  $T_0$
- ②  $\frac{2}{3}T_0$
- ③  $\frac{1}{2}T_0$
- ④  $\frac{1}{3}T_0$

**A**

(7급)

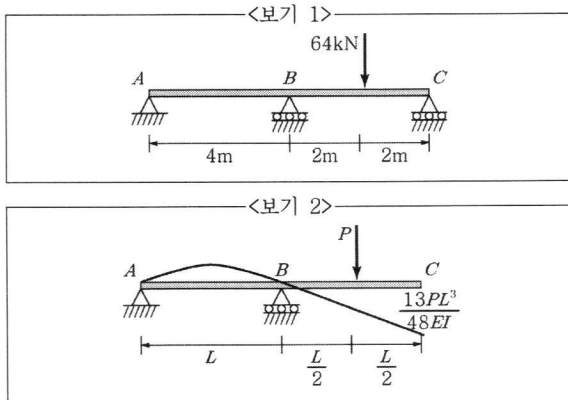
13. 부정정구조물의 내측 지점  $B$ 에서 모멘트의 크기는? (단, 단면 2차모멘트와 탄성계수는 일정하다.)



- ①  $\frac{6}{56}PL$       ②  $\frac{9}{56}PL$   
③  $\frac{12}{56}PL$       ④  $\frac{15}{56}PL$

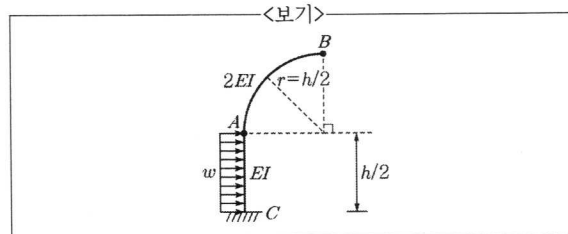
14. <보기 1>에 주어진 부정정보에서  $C$ 점의 수직반력의 크기는? (단, <보기 2>에서처럼, 내민보에  $P$ 하중이 작용할 때  $C$ 점의

수직처짐량은  $\frac{13PL^3}{48EI}$ 이다.)



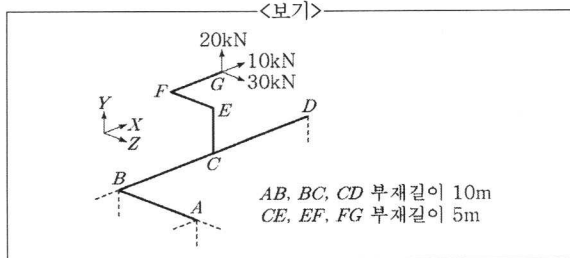
- ① 20kN      ② 22kN  
③ 24kN      ④ 26kN

15. <보기>와 같은 캔틸레버 구조물에 수평등분포하중  $w$ 가 작용할 때  $B$ 점의 연직처짐  $\delta_B$ 는? (단,  $AC$ 부재의 휨강성은  $EI$ ,  $AB$ 사분원 부재의 휨강성은  $2EI^\circ$ 이다.)



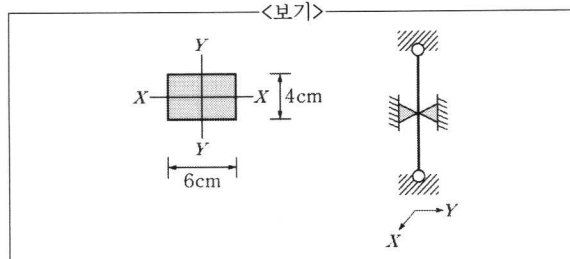
- ①  $\frac{wh^4}{96EI}$       ②  $\frac{wh^4}{24EI}$   
③  $\frac{wh^4}{48EI}$       ④  $\frac{wh^4}{12EI}$

16. <보기> 구조물은  $A$ ,  $B$ ,  $D$ 점에서 각각 점선으로 표기된 방향의 반력으로 지지되어 있다.  $B$ 점에서의  $Y$ 방향 반력은? (단,  $A$ ,  $B$ ,  $D$ 점에서 모멘트 반력은 없다.)



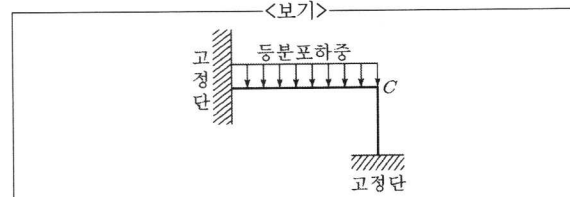
- ① -32.5kN  
② -34.5kN  
③ -36.5kN  
④ -38.5kN

17. 상하단이 핀연결된 압축부재의 중간 부분에 <보기>와 같이  $Y$ 축 방향으로 횡지지를 두어 유효좌굴길이가 1/2로 줄게 하였다. 강축 ( $Y-Y$ )에 대한 좌굴하중이 900kN이라 할 때 약축 ( $X-X$ )에 대한 좌굴하중의 크기는?



- ① 600kN  
② 900kN  
③ 1,200kN  
④ 1,600kN

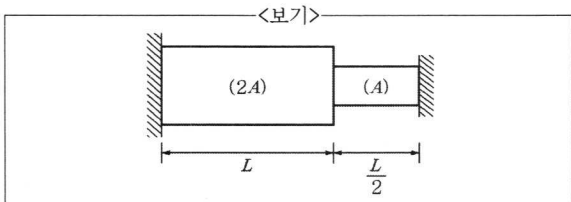
18. <보기>와 같이 고정 지지된 부정정 라멘에 등분포하중이 작용할 때 변곡점의 개수와 기둥 하단에서 인장측의 위치로 가장 옳은 것은? (단,  $C$ 는 강절점이다.)



변곡점 개수      기둥 하단의 인장측 발생위치

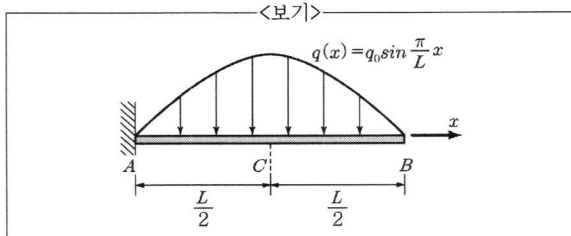
- |   |   |    |
|---|---|----|
| ① | 2 | 좌측 |
| ② | 2 | 우측 |
| ③ | 3 | 좌측 |
| ④ | 3 | 우측 |

19. <보기>와 같이 단면적이  $2A$ 와  $A$ 이고 양단이 고정된 강봉으로 이루어진 구조계의 온도를  $T$ 만큼 감소시킬 때 면적이  $A$ 인 봉에 발생하는 응력은? (단, 탄성계수, 선팽창계수는 각각  $E$ ,  $\alpha$ 로 일정하다.)



- ①  $\frac{1}{2}E\alpha T$
- ②  $E\alpha T$
- ③  $\frac{3}{2}E\alpha T$
- ④  $2E\alpha T$

20. <보기>와 같은 sine 함수 분포의 하중을 받는 캔틸레버보의 중앙점,  $C$ 에서의 전단력의 크기는?



- ①  $\frac{L}{2\pi}q_0$
- ②  $\frac{L}{\pi}q_0$
- ③  $\frac{3L}{2\pi}q_0$
- ④  $\frac{2L}{\pi}q_0$

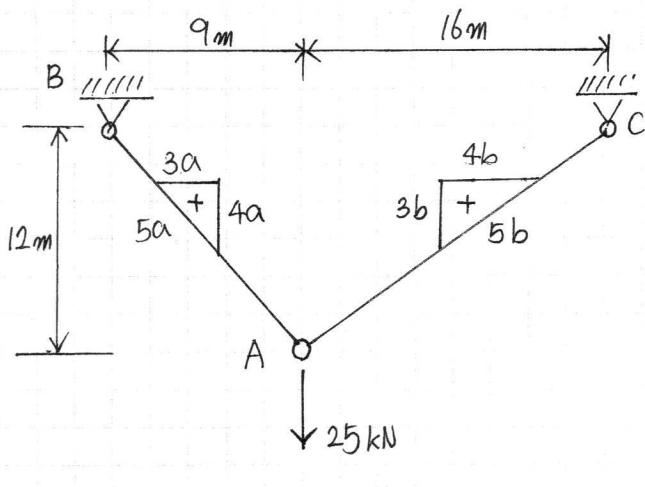
# 2018년 서울시(2차) 7급 응용역학 해설(A형) 이학민

1. ①번

$$k = \frac{3EI}{L^3} + \frac{3EI}{L^3} = \frac{6EI}{L^3} \quad (\because \text{병렬구조})$$

2. ④번

(1) 부재력 선정 (A점에서 연립방정식 이용)



$$\sum H = 0, \quad 3a = 4b \quad (1)$$

$$\sum V = 0, \quad 4a + 3b = 25 \quad (2)$$

$$\text{from (1)(2)} \quad a = 4, \quad b = 3$$

$$\rightarrow F_{AB} = 5a = 20 \text{ [kN]}, \quad F_{BC} = 5b = 15 \text{ [kN]}$$

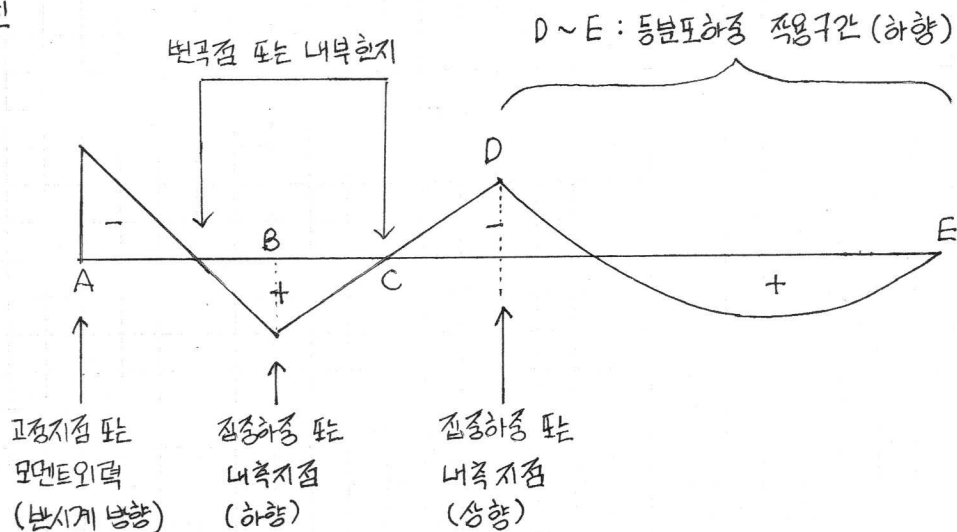
단위하중 1에 의한 단면력  $f = \frac{F}{25}$  이므로

$$\rightarrow f_{AB} = \frac{20}{25} = \frac{4}{5} \text{ [kN]}, \quad f_{BC} = \frac{15}{25} = \frac{3}{5} \text{ [kN]}$$

(2) A점의 수직처짐량 선정 (단위하중법 이용)

$$\delta_A = \sum \frac{FFL}{EA} = \frac{(20)\left(\frac{4}{5}\right)(15) + (15)\left(\frac{3}{5}\right)(20)}{EA} = \frac{420}{EA}$$

3. ①번



#### 4. ② 번

\* 미분방정식 이용

$$\cdot K(x) = \frac{M(x)}{EI} = \frac{M_0}{EI} \sin \frac{\pi}{L} x$$

$$\cdot \theta(x) = \int K(x) dx = -\frac{M_0 L}{EI \pi} \cos \frac{\pi}{L} x + C_1$$

$$\cdot \delta(x) = \int \theta(x) dx = -\frac{M_0 L^2}{EI \pi^2} \sin \frac{\pi}{L} x + C_1 x + C_2$$

경계조건  $\delta(0) = 0$ ,  $\delta(L) = 0$  을 각각 대입하면  $C_2 = 0$ ,  $C_1 = 0$ 이다.

$$\cdot \delta(x) = -\frac{M_0 L^2}{EI \pi^2} \sin \frac{\pi}{L} x$$

$$\therefore \delta(\frac{L}{4}) = -\frac{M_0 L^2}{EI \pi^2} \sin \frac{\pi}{4} = -\frac{\sqrt{2} M_0 L^2}{2 EI \pi^2} \quad (\downarrow)$$

참고

$$\int \sin(\alpha \cdot x) dx = -\frac{\cos(\alpha \cdot x)}{\alpha}$$

$$\int \cos(\alpha \cdot x) dx = \frac{\sin(\alpha \cdot x)}{\alpha}$$

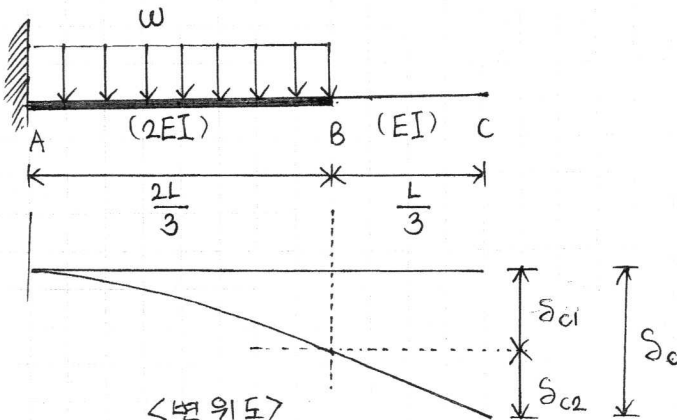
#### 5. ④ 번

$$\cdot V_{max} = R_A = \frac{3wL}{8} = \frac{3 \times 40 \times 12}{8} = 180 [kN]$$

$$\therefore \tau_{max} = \frac{3}{2} \frac{V_{max}}{A} = \frac{3}{2} \frac{(180 \times 10^3)}{200 \times 300} = 4.5 [N/mm^2]$$

#### 6. ③ 번

\* 통합공식 이용



$$\delta_c = \delta_{c1} + \delta_{c2}$$

$$= \delta_B + \theta_B \times \frac{L}{3}$$

$$= \frac{w \left(\frac{2L}{3}\right)^4}{8(2EI)} + \frac{w \left(\frac{2L}{3}\right)^3}{6(2EI)} \times \frac{L}{3}$$

$$= \frac{5wL^4}{243EI}$$

### 7. ④ 번

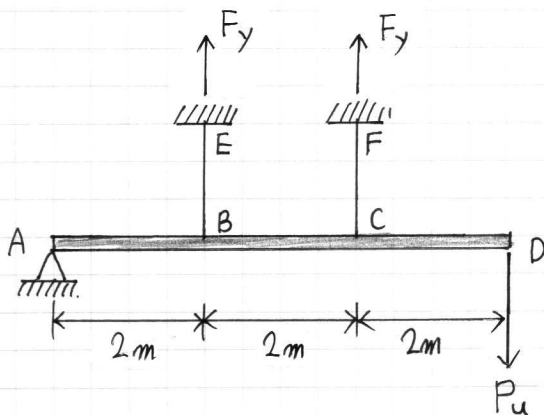
- AB 구간: 단주 해석
- BC 구간: 중간주 해석
- CD 구간: 오일러 정주 해석

### 8. ③ 번

$$I = I_{\text{습작형}} - I_{\text{사각형}}$$

$$= \frac{bh^3}{12} - \frac{\left(\frac{b}{2}\right)\left(\frac{h}{2}\right)^3}{3} = \frac{bh^3}{16}$$

### 9. ② 번



$$\sum M_A = 0, \quad \text{↶}$$

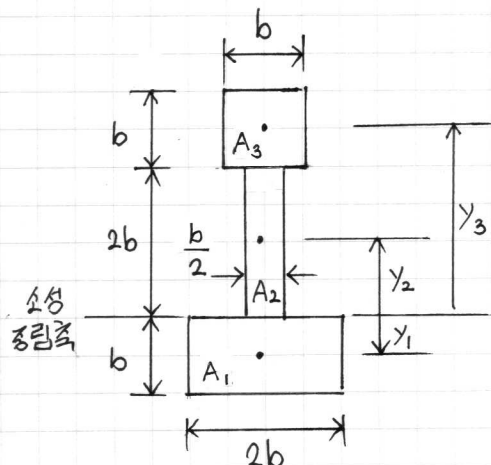
$$P_u(6) - F_y(4) - F_y(2) = 0$$

$$\therefore P_u = F_y = C_y A = 240 \times 100$$

$$= 24 \times 10^3 [N] = 24 [kN]$$

### 10. ① 번

(1) 소성중립축 선정



$$\cdot A_1 = 2b \times b = 2b^2$$

$$\cdot A_2 = \frac{b}{2} \times 2b = b^2, \quad A_3 = b \times b = b^2$$

• 소성중립축은 면적의 2등분점에서 발생하므로

$$A_1 \text{과 } A_2 \text{ 경계면에서 발생한다.} (\because A_1 = A_2 + A_3)$$

(2) 소성모멘트 선정

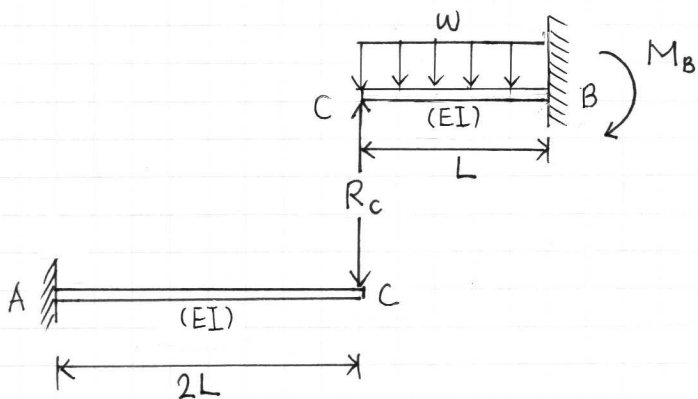
$$\cdot Z_p = A_1 y_1 + A_2 y_2 + A_3 y_3$$

$$= 2b^2 \times \frac{b}{2} + b^2 \times b + b^2 \times \frac{5b}{2} = \frac{9}{2} b^3$$

$$\therefore M_p = Z_p \cdot C_y = \frac{9}{2} b^3 \cdot C_y$$

## 11. ① 번

\* 변위일치법 이용



(1)  $R_c$  산정

C점에서 변위일치를 적용하면

$$\frac{R_c(2L)^3}{3EI} = \frac{wL^4}{8EI} - \frac{R_c L^3}{3EI}, R_c = \frac{wL}{24}$$

(2)  $M_B$  산정

B점에서 모멘트 평형방정식을 적용하면

$$M_B - (w \times L) \left(\frac{L}{2}\right) + \frac{wL}{24} (L) = 0$$

$$\therefore M_B = \frac{11}{24} wL^2$$

## 12. ④ 번

\* 분배법 이용

$$\cdot k_A : k_B = \frac{2GJ}{L} : \frac{GJ}{L} = 2 : 1$$

$$\therefore T_B = \frac{k_B}{k_A + k_B} T_o = \frac{1}{2+1} \times T_o = \frac{1}{3} T_o$$

## 13. ② 번

\* 모멘트분배법 이용

(1) 분배율 산정

$$\cdot K_{AB} = \frac{4EI}{L}, K_{BC} = \frac{3EI}{L}$$

$$\cdot DF_{AB} = \frac{K_{AB}}{K_{AB} + K_{BC}} = \frac{4}{7}$$

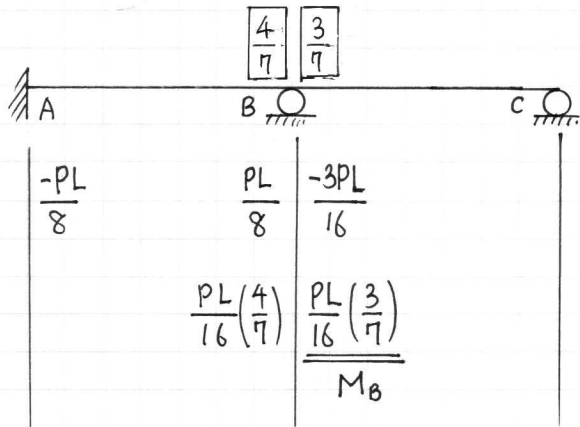
$$\cdot DF_{BC} = \frac{K_{BC}}{K_{AB} + K_{BC}} = \frac{3}{7}$$

(2) 고정단모멘트 산정

$$\cdot FEM_{AB} = -\frac{PL}{8}, FEM_{BA} = \frac{PL}{8}$$

$$\cdot FEM_{BC} = -\frac{3PL}{16}$$

(3)  $M_B$  산정



$$\therefore M_B = \frac{-3PL}{16} + \frac{PL}{16} \left( \frac{3}{7} \right)$$

$$= -\frac{9}{56} PL$$

14. ④ 번

\* 변위일치법 이용

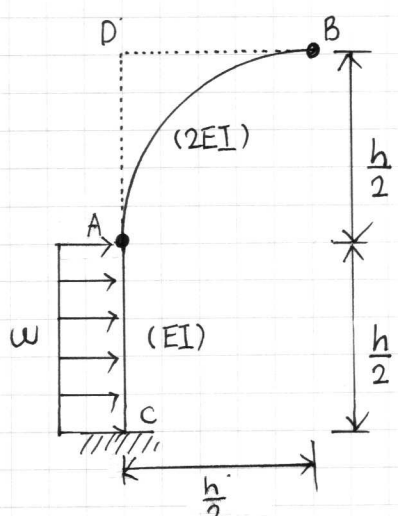
$$\cdot S_{c1} = \frac{13PL^3}{48EI} = \frac{13 \times 64 \times L^3}{48EI} = \frac{52L^3}{3EI} \quad (\downarrow), \text{ from } \langle \text{보기 } 2 \rangle$$

$$\cdot S_{c2} = \frac{R_c L^2(L+\alpha)}{3EI} = \frac{R_c L^2(L+L)}{3EI} = \frac{2R_c L^3}{3EI} \quad (\uparrow), \text{ from } \text{종합공식}$$

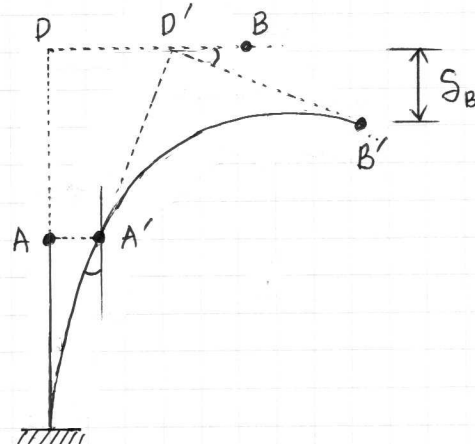
$$\cdot S_{c1} \left( = \frac{52L^3}{3EI} \right) = S_{c2} \left( = \frac{2R_c L^3}{3EI} \right) \text{ 이므로 } R_c = 26 \text{ [kN] } \text{이다.}$$

15. ① 번

\* 종합공식 이용



<변형 전>

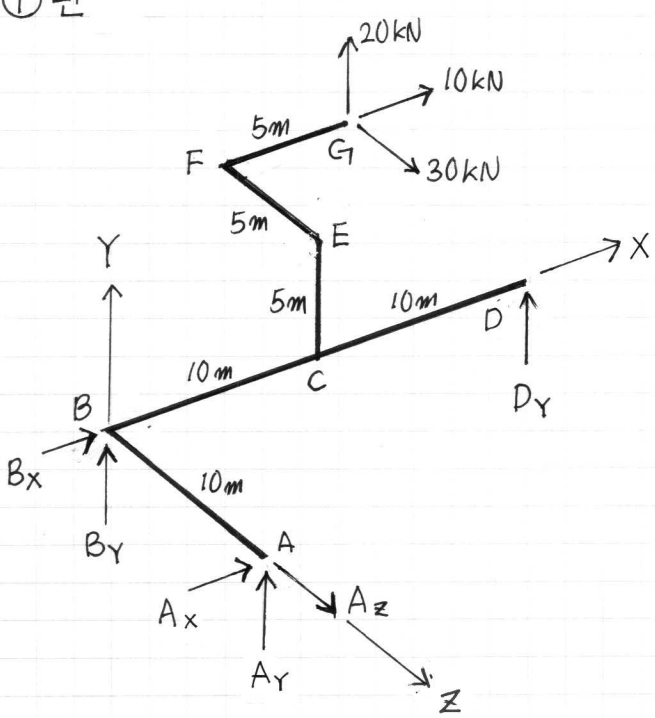


<변형 후>

$$\therefore \delta_B = \theta_A \times \frac{h}{2} = \frac{\omega \left(\frac{h}{2}\right)^3}{6EI} \times \frac{h}{2} = \frac{\omega h^4}{96EI} \quad (\downarrow)$$

( $\because$  B점의 연직처짐은 AC부분의 흡변형에 의하여 발생하므로 AB부분은  
아치부재 대신에 라멘부재 형태로 바꿔서 풀이할 수 있다.)

16. ①번



$$\sum M_x = 0$$

$$-A_Y(10) + 20(5) + 30(5) = 0, A_Y = 25[kN]$$

$$\sum M_z = 0$$

$$D_Y(20) + 20(15) - 10(5) = 0, D_Y = -12.5[kN]$$

$$\sum F_y = 0$$

$$A_Y + B_Y + D_Y + 20 = 0$$

$$(25) + B_Y + (-12.5) + 20 = 0$$

$$\therefore B_Y = -32.5[kN]$$

17. ④번

$$\cdot I_{x'} = \frac{6 \times 4^3}{12} = 32 [cm^3] \quad , \quad I_{y'} = \frac{4 \times 6^3}{12} = 72 [cm^3]$$

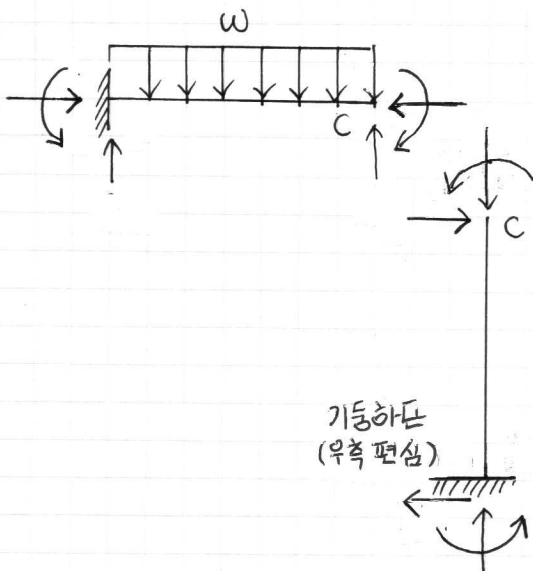
$$\cdot P_{cr,x} = \frac{\pi^2 EI_x}{\left(\frac{L}{2}\right)^2} = \frac{\pi^2 E \times 32}{\left(\frac{L}{2}\right)^2} = \frac{128\pi^2 E}{L^2}$$

$$\cdot P_{cr,y} = \frac{\pi^2 EI_y}{L^2} = \frac{\pi^2 E \times 72}{L^2} = \frac{72\pi^2 E}{L^2}$$

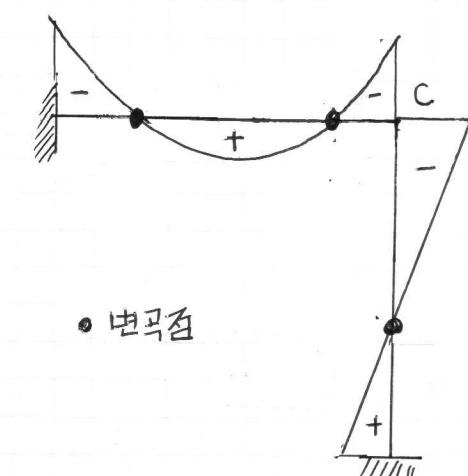
$$\cdot \frac{P_{cr,x}}{P_{cr,y}} = \frac{128}{72} = \frac{16}{9}, P_{cr,x} = P_{cr,y} \times \frac{16}{9}$$

$$\therefore P_{cr,x} = 900 \times \frac{16}{9} = 1,600[kN]$$

18. ③번



<개략적인 자유물체도>



• 변곡점

<개략적인 힘모멘트도>

∴ 변곡점의 개수는 3개이고, 기동하단에서 인장 측의 위치는

좌측에서 발생한다. ( $\because$  기동하단에서 모멘트는 우측편심이다.)

19. ③번

\* 변위일치법 이용

$$\alpha \cdot T \cdot \left( L + \frac{L}{2} \right) = \frac{RL}{E(2A)} + \frac{R\left(\frac{L}{2}\right)}{EA}$$

$$\frac{3\alpha \cdot T \cdot L}{2} = \frac{RL}{EA} \text{ 이므로 } \sigma \left( = \frac{R}{A} \right) = \frac{3}{2} E \alpha T \text{ 이다.}$$

20. ②번

\* 미분방정식 이용

$$\begin{aligned} V_x &= \int_{\frac{L}{2}}^L g(x) dx = \int_{\frac{L}{2}}^L \left( g_0 \cdot \sin \frac{\pi}{L} x \right) dx \\ &= \left[ -\frac{g_0 L}{\pi} \cdot \cos \frac{\pi}{L} x \right]_{\frac{L}{2}}^L = \frac{-g_0 L}{\pi} \cdot (-1) - \frac{-g_0 L}{\pi} \cdot (0) \\ &= \frac{L}{\pi} g_0 \end{aligned}$$